Особенности полевых и температурных зависимостей магнитострикции многокомпонентных сплавов Sm_{0.9}(Y, Tb)_{0.8}Fe₂

Т. А. Алероева, ^{1,2} А. С. Илюшин, ^{1,3} З. С. Умхаева, ^{2,3} Н. Ю. Панкратов, ^{1,a} И. С. Терёшина ¹ Московский государственный университет имени М. В. Ломоносова, физический факультет. Россия, 119991, Москва, Ленинские горы, д. 1, стр. 2. ² ФГБОУ ВО «Чеченский государственный университет». Россия, 364907, Грозный, ул. А. Шерипова, 32. ³ ФГБУН Комплексный исследовательский институт имени Х. И. Ибрагимова РАН. Россия, 364051, Грозный, Старопромысловское шоссе, 21a.

Поступила в редакцию 19.01.2020, после доработки 05.02.2020, принята к публикации 05.02.2020.

В работе приведены результаты синтеза и изучения магнитострикционных свойств сплавов многокомпонентной системы $Sm_{0.2}(Y,Tb)_{0.8}$ Fe $_2$. В данной системе, варьируя концентрацию компонент, температуру и внешнее магнитное поле, можно влиять на конкурирующие обменные взаимодействия и наблюдать целый ряд уникальных явлений, таких как компенсация намагниченности и компенсация магнитострикции. Методом рентгеноструктурного фазового анализа установлено, что данные сплавы обладают кристаллической структурой фазы Лавеса C15. Продольная и поперечная магнитострикции исследованы в области температур от 80 до 300 K в магнитных полях до $12\,\mathrm{k}$ Э. При использовании экспериментальных значений были рассчитаны объемная и анизотропная магнитострикции. Обнаружена инверсия знака объемной магнитострикции в соединении $Sm_{0.2}Y_{0.8}$ Fe $_2$ при $T=150\,\mathrm{K}$. Показано, что объемная магнитострикция ряда исследованных сплавов практически не изменяется и близка к нулевому значению в широкой области температур $150-300\,\mathrm{K}$. Полученные результаты обсуждены в рамках модели трехподрешеточного магнетика с конкурирующими обменными взаимодействиями.

Ключевые слова: фазы Лавеса, магнитострикция, обменные взаимодействия, спин-переориентационный переход.

УДК: 537.634.2, 537.622.6. PACS: 75.80.+q.

ВВЕДЕНИЕ

В настоящее время, в связи с бурным развитием ряда отраслей техники и новых технологий остро стоит проблема получения магнитных материалов нового типа с уникальным комплексом свойств. Наибольший интерес вызывают редкоземельные интерметаллиды стехиометрии RM2 (где R — редкоземельный элемент, а M-3d-элемент) со структурой фаз Лавеса (кубической фазы С15 или гексагональной С14), демонстрирующие огромное разнообразие физических свойств [1-4]. В соединениях данного типа обеспечивается возможность комбинирования в одном соединении магнитоактивных ионов различного типа, благодаря использованию 4f- и 3d-металлов. В результате получаются сплавы, которым присущи свойства как 3d-металлов (достаточно высокие температуры Кюри), так и 4f-магнетиков (гигантская магнитострикция и высокая магнитная анизотропия).

Известно [5, 6], что в 4f-3d-магнетиках действуют сравнимые по величине обменные, магнитоанизотропные и магнитоупругие взаимодействия. В результате в них возникают сложные магнитные структуры и фазовые переходы (при изменении внешних параметров, таких как температура, магнитное поле и давление): метамагнитные, спинпереориентационные и др. В области переходов наиболее ярко проявляются особенности магнитных свойств 4f-3d-магнетиков. Кроме того, большинство редкоземельных соединений и сплавов со структурой фазы Лавеса С15 обладает гигантской магнитострикцией [6, 7]. В связи с этим, создание новых композиций с наиболее уникальным комплексом магнитных и магнитострикционных свойств является актуальной задачей. Одним из направлений поиска новых материалов с оптимальными параметрами является создание многокомпонентных систем редкоземельных интерметаллидов с полной или частичной компенсацией магнитной анизотропии. Такая компенсации может быть достигнута в сплавах смешанных квазибинарных составов или более сложных системах.

Следует отметить, что исследование интерметаллических соединений типа RM_2 со структурой фаз Лавеса С15 имеет огромное прикладное значение. Связано это с тем, что, благодаря разнообразию свойств, эти интерметаллиды и родственные им соединения находят широкое применение в металлургии, лазерной технике, полупроводниковой электронике и в других областях. Сплавы и соединения редкоземельных металлов обладают способностью абсорбировать водород в достаточно больших количествах [8, 9], поэтому их можно использовать в качестве аккумуляторов водорода для батарей, топливных элементов и водородных компрессоров. Особо актуально в последнее время применение фаз Лавеса в некоторых областях энергетики и медицины [10].

Теоретические исследования и опыт практического изучения соединений, близких по составу $(SmFe_2, TbFe_2 \ u \ системы \ (Sm,Tb)Fe_2 \ [11-16])$, привели нас к необходимости проведения комплексного исследования магнитных и магнитострикционных свойств многокомпонентных сплавов $Sm_{0.2}(Y,Tb)_{0.8}Fe_2$. Некоторые магнитные характеристики (температуры Кюри, полевые и температурные зависимости намагниченности) данных сплавов ранее исследованы нами в работе [17]. Обнаружен ряд интересных явлений, в том числе явление магнитной компенсации. Упомянутые явления обусловлены изменением знака и величины обменных взаимодействий в системе.

^a E-mail: pankratov@phys.msu.ru

За основу системы $Sm_{0.2}(Y,Tb)_{0.8}Fe_2$ взяты два соединения, $SmFe_2$ и $TbFe_2$, обладающие рекордными значениями констант магнитострикции разного знака. В данной системе наблюдается конкуренция обменных взаимодействий Sm-Fe и Tb-Fe в зависимости от концентрации ионов немагнитного иттрия, вводимых в редкоземельную подрешетку. Обменные взаимодействия, их тип, знак и величина определяют в конечном счете весь спектр уникальных магнитных и магнитострикционных свойств соединений данного типа.

Соединение SmFe₂ демонстрирует отрицательную спонтанную магнитострикцию [15], в то время как соединение $TbFe_2$ — положительную [13]. Известно, что в системе $Tb_{1-z}Sm_zFe_2$ [11] происходит инверсия знака спонтанной магнитострикции в области концентрации самария z = 0.45. В системе (Sm, Y, Tb) Fe₂ внедрение ионов иттрия позволяет выделить вклад РЗ подрешетки в обменное взаимодействие и изменить концентрацию РЗ ионов, при которой происходит инверсия знака магнитострикционных констант. Так же разбавление редкоземельной подрешетки иттрием в системе $Sm_{0.2}(Y, Tb)_{0.8}Fe_2$ позволяет (варьируя концентрацию тербия и иттрия) получить состав с полной компенсацией намагниченности [17]. При этом иттрий не вносит изменений в кристаллическую структуру сплава, так как обладает таким же атомным радиусом, что и «редкие земли». Поэтому в системе наблюдаются только эффекты разбавления магнитной редкоземельной подрешетки. Более того, разбавление редкоземельной подрешетки немагнитным иттрием и увеличение расстояния между ионами тербия и самария приводит к изменению величин конкурирующих друг с другом обменных взаимодействий Tb-Fe и Sm-Fe (магнитные моменты ионов Sm^{3+} и Tb^{3+} упорядочиваются соответственно параллельно и антипараллельно моменту железной подрешетки), что должно сказаться на поведении магнитострикционных свойств сплавов системы.

Цель данной работы — изучение особенностей полевых и температурных зависимостей магнитострикции многокомпонентных сплавов $Sm_{0.2}(Y, Tb)_{0.8}Fe_2$, как свойства наиболее чувствительного к изменениям обменных взаимодействий, а также выявление основных механизмов, ответственных за формирование особенностей на полевых и температурных зависимостях магнитострикции. Для исследований в работе были получены сплавы $Sm_{0.2}(Y_x Tb_{1-x})_{0.8} Fe_2$ (x = 0, 0.2, 0.4, 0.6, 0.8, 1.0). Исследование магнитострикции сплавов данной системы позволит изучить трансформацию не только межподрешеточного обменного взаимодействия R-Fe (при разбавлении редкоземельной подрешетки атомами немагнитного иттрия), но и обменного взаимодействия в самой редкоземельной подрешетке.

1. ОБРАЗЦЫ И МЕТОДИКА ЭКСПЕРИМЕНТА

Синтез сплавов $Sm_{0.2}(Y_xTb_{1-x})_{0.8}Fe_2$ (x=0,0.2,0.4,0.6,0.8,1.0) произведен на основе высокочистых РЗМ и Fe в дуговой печи с нерасходуемым вольфрамовым электродом на медном водоохлаждаемом поду специальной конструкции в атмосфере очищенного

инертного газа (аргона) при нормальном давлении. Затем образцы подвергались гомогенизирующему отжигу в течение 2 недель.

Аттестация сплавов проводилась методом рентгеноструктурного фазового анализа на дифрактометре «ДРОН-2». В качестве источника рентгеновского излучения использовалась рентгеновская трубка с CuK_{α} -излучением ($\lambda = 0.1540598 \, \mathrm{нм}$). Параметры элементарной ячейки определялись по отражениям в области углов $2\theta = 15-105^{\circ}$. Анализ показал, что соединения $Sm_{0.2}(Y, Tb)_{0.8}Fe_2$ обладают структурой кубической фазы Лавеса типа С15 (кристаллическая структура типа MgCu₂, пространственная группа Fd3m). В квазибинарных сплавах $Sm_{0.2}Y_{0.8}Fe_2$, $Sm_{0.2}Tb_{0.8}Fe_2$ содержалось незначительное количество (3-4%) второй фазы типа RFe₃ (кристаллическая структура типа PuNi₃, пространственная группа R3m). В более сложных составах $Sm_{0.2}(Y_{0.2}Tb_{0.8})_{0.8}Fe_2$, $Sm_{0.2}(Y_{0.4}Tb_{0.6})_{0.8}Fe_2$, $Sm_{0.2}(Y_{0.6}Tb_{0.4})_{0.8}Fe_2$, $Sm_{0.2}(Y_{0.8}Tb_{0.2})_{0.8}Fe_2$ содержание второй фазы типа RFe₃ варьировалось от 5 до 10%.

Измерения магнитострикции проводилось тензометрическим методом. Использованные в данной работе тензодатчики были изготовлены из тензочувствительной проволоки, не обладавшей заметным гальваномагнитным эффектом. Коэффициент тензочувствительности составлял S = 2.15 во всем температурном интервале. Датчики имели базу с линейным размером $5\,\mathrm{mm}$ и сопротивление $120\,\Omega$. При измерениях один датчик наклеивался на образец, а другой, компенсационный, наклеивался на тонкую кварцевую пластинку, которая прижималась к образцу. Оба датчика включались в противоположные плечи моста Уинстона. Сопротивление рабочего и компенсационного тензодатчиков отличались не более чем на 1 %. Для градуировки схемы измерялся сигнал разбаланса моста при включении эталонного сопротивления $0.1\,\Omega$. В качестве эталонного образца использовался поликристаллический никель. Образец в криостате помещался в зазор электромагнита. Образцы предварительно охлаждались до температуры 80 К в отсутствии магнитного поля, что позволило проводить измерения магнитострикции в интервале температур 80-320 К в магнитных полях до 12 кЭ [18]. Измерения магнитострикции были выполнены на поликристаллических образцах. Были измерены продольная (λ_{\parallel}) и поперечная (λ_{\perp}) магнитострикции. Объемная и анизотропная магнитострикции рассчитывались по формулам

$$\omega = \lambda_{\parallel} + 2\lambda_{\perp} \tag{1}$$

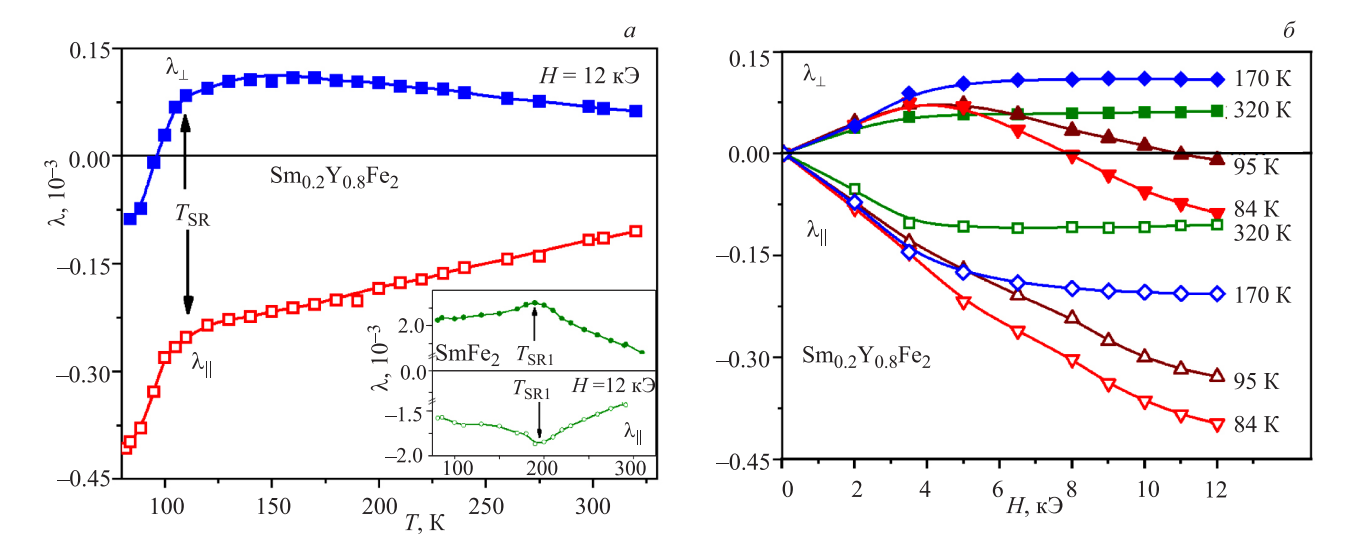
И

$$\lambda_a = \lambda_{\parallel} - \lambda_{\perp}$$

соответственно.

2. РЕЗУЛЬТАТЫ И ОБСУЖДЕНИЕ

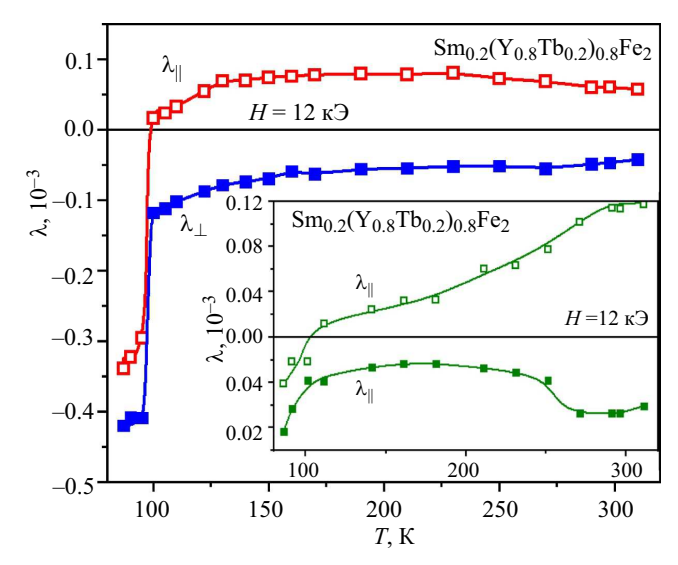
На рис. 1, a представлены зависимости продольной и поперечной магнитострикции от температуры в магнитном поле $H=12\,\mathrm{k}\Im$ для соединения $\mathrm{Sm}_{0.2}\mathrm{Y}_{0.8}\mathrm{Fe}_2$. Поперечная магнитострикция для этого состава меняет знак с изменением температуры.



Pис. 1. Температурные (a) и полевые (б) зависимости продольной и поперечной магнитострикции сплава $Sm_{0.2}Y_{0.8}Fe_2$ при $H=12\,\mathrm{k}\Theta$. Вставка: температурные зависимости продольной и поперечной магнитострикции $SmFe_2$ при $H=12\,\mathrm{k}\Theta$

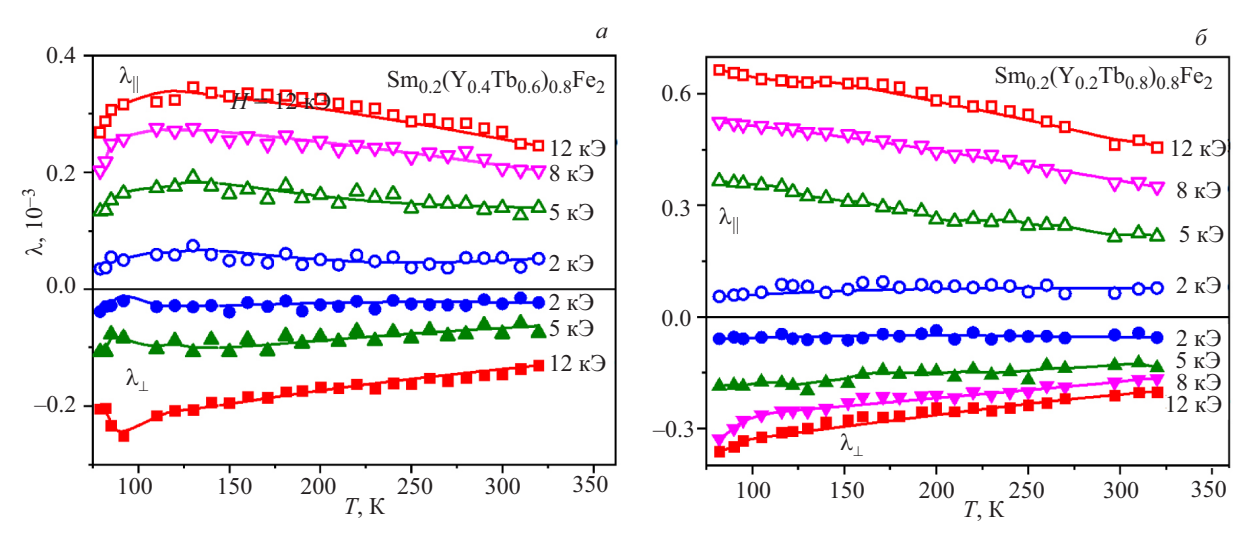
 λ_{\perp} отрицательна при $T~<~95\,\mathrm{K}.$ Выше $95~\mathrm{K}~\lambda_{\perp}$ положительна и с ростом температуры достигает максимального значения $0.11 \cdot 10^{-3}$ при $T = 150 \,\mathrm{K}$. B то же время продольная магнитострикция λ_{\parallel} во всем интервале температур отрицательная, при $T = 84 \, \mathrm{K}$ она имеет значение $-0.4 \cdot 10^{-3}$ и уменьшается в 4 раза при нагреве до комнатной температуры. При охлаждении ниже $T < 110\,\mathrm{K}$ наблюдается резкое падение как λ_{\parallel} , так и λ_{\perp} . Данное соединение можно рассматривать как аналог ферромагнитного соединения SmFe2 с разбавлением РЗ подрешетки ионами немагнитного иттрия. Известно, что в соединении SmFe₂ имеет место магнитный фазовый переход в температурном интервале 126-188 К (см. вставку к рис. 1, a). Аномалии на кривых $\lambda_{\parallel}(T)$ и $\lambda_{\perp}(T)$ объясняются тем, что при $T_{\rm SR1}=188\,{\rm K}$ происходит переход из ромбоэдрической в «угловую» фазу, в то время как при $T_{\rm SR2} = 126 \, {\rm K}$ «угловая» фаза переходит в ромбическую [19]. Сравнение характера температурных зависимостей продольной магнитострикции $\lambda_{\parallel}(T)$ соединений SmFe $_2$ и Sm $_{0.2}$ Y $_{0.8}$ Fe $_2$ позволяет предположить, что в $Sm_{0.2}Y_{0.8}Fe_2$ аналогичный минимум продольной магнитострикции будет наблюдаться ниже температуры кипения жидкого азота, а резкое уменьшение магнитострикции при понижении температуры можно объяснить наличием фазового перехода аналогичного переходу в соединении SmFe₂.

На рис. $1, \delta$ показаны полевые зависимости продольной и поперечной магнитострикции для соединения $\mathrm{Sm}_{0.2}\mathrm{Y}_{0.8}\mathrm{Fe}_2$. Для них характерно сложное поведение в области низких температур $(T<95\,\mathrm{K})$, где рост внешнего магнитного поля приводит к изменению знака поперечной магнитострикции в магнитном поле $H\geqslant 8\,\mathrm{k}$. Продольная магнитострикция $\mathrm{Sm}_{0.2}\mathrm{Y}_{0.8}\mathrm{Fe}_2$ остается отрицательной при всех температурах. В области температур $T< T_{\mathrm{Sr}}$ магнитное поле $H=12\,\mathrm{k}$ недостаточно для насыщения магнитострикционных кривых, в то время как при повышении температуры выше $T_{\mathrm{sr}}=110\,\mathrm{K}\,\lambda_{\parallel}(H)$ и $\lambda_{\perp}(H)$ выходят на насыщение в магнитных полях $H\geqslant 6\,\mathrm{k}$.



Puc.~2. Температурные зависимости продольной и поперечной магнитострикции соединения $\mathrm{Sm}_{0.2}(\mathrm{Y}_{0.8}\mathrm{Tb}_{0.2})_{0.8}\mathrm{Fe}_2$ в поле $H=12\,\mathrm{k}$ Э. Вставка: температурные зависимости продольной и поперечной магнитострикции соединения $\mathrm{Sm}_{0.2}(\mathrm{Y}_{0.6}\mathrm{Tb}_{0.4})_{0.8}\mathrm{Fe}_2$ при $H=12\,\mathrm{k}$ Э

На рис. 2 представлены зависимости продольной и поперечной магнитострикции от температуры в магнитном поле $H=12\,\mathrm{k}$ Э для соединения $Sm_{0.2}(Y_{0.8}Tb_{0.2})_{0.8}Fe_2$. Поведение магнитострикции в этом соединении отличается от $\lambda_{\parallel}(T)$ и $\lambda_{\perp}(T)$ для сплава Sm_{0.2}Y_{0.8}Fe₂. Легирование тербием приводит к изменению знака магнитострикции. Поперечная магнитострикция во всем исследованном интервале температур становится отрицательной. При температуре кипения жидкого азота поперечная магнитострикция составила $\lambda_{\perp} = -0.4 \cdot 10^{-3}$ и с ростом температуры уменьшается на порядок. В то же время продольная магнитострикция для этого состава меняет знак с изменением температуры. При температуре ниже $100\,\mathrm{K}$ λ_{\parallel} отрицательна, при этом ее значение сравнимо с поперечной стрикцией. В интервале температур выше $100\,\mathrm{K}~\lambda_\parallel$ положительна и демонстрирует широкий максимум в области температур 170- $230\,\mathrm{K}$, достигая максимального значения $0.08\cdot 10^{-3}$.



Pис. 3. Температурные зависимости продольной и поперечной магнитострикции сплавов $Sm_{0.2}(Y_{0.4}Tb_{0.6})_{0.8}Fe_2$ (a), $Sm_{0.2}(Y_{0.2}Tb_{0.8})_{0.8}Fe_2$ (b)

При температуре 100 К как продольная, так и поперечная магнитострикция изменяются скачкообразно на величину $\sim 0.3 \cdot 10^{-3}$. Таким образом, фазовый переход в этом соединении наблюдается в виде скачка магнитострикции при температуре $T_{\rm sr} = 100 \, {\rm K}.$ В соединении $Sm_{0.2}(Y_{0.8}Tb_{0.2})_{0.8}Fe_2$ концентрация ионов самария и тербия близки к друг другу. Ранее в работе [11] рассмотрены магнитострикционные деформации в ряду соединений (Sm, Tb) Fe₂ и построена фазовая диаграмма. Было показано, что в области примерно равных концентраций ионов Sm и Tb меняется знак величины спонтанных ромбоэдрических искажений. Изменение знака магнитострикции при легировании тербием в соединении $Sm_{0.2}(Y_{0.8}Tb_{0.2})_{0.8}Fe_2$ коррелирует с изменением знака ромбоэдрических искажений в (Sm,Tb)Fe₂ [11].

На вставке к рис. 2 представлены зависимости продольной и поперечной магнитострикции от температуры в магнитном поле $H = 12 \, \mathrm{k} \Im$ для сплава $Sm_{0.2}(Y_{0.6}Tb_{0.4})_{0.8}Fe_2$. В этом соединении поперечная магнитострикция во всем интервале температур отрицательная. При температуре кипения жидкого азота $\lambda_{\perp} = -0.08 \cdot 10^{-3}$, а при $T = 180 \, \mathrm{K}$ она достигает максимального значения $-0.02\cdot 10^{-3}$. При температуре 280 К наблюдается минимум поперечной магнитострикции ($\lambda_{\perp} = -0.07 \cdot 10^{-3}$). Продольная магнитострикция для этого состава меняет знак при изменении температуры. В области температур ниже $104\,\mathrm{K}$ λ_{\parallel} отрицательная ($\lambda_{\parallel}=-0.04\cdot10^{-3}$ при $T=90\,\mathrm{K}$). Выше $104\,\mathrm{K}$ λ_{\parallel} положительная и монотонно возрастает, достигая при комнатной температуре значения $0.12 \cdot 10^{-3}$. Величины продольной магнитострикции соединений $Sm_{0.2}(Y_xTb_{1-x})_{0.8}Fe_2$ с концентрацией иттрия x = 0.8 и 0.6 примерно равны, а величина поперечной магнитострикции в соединении с x = 0.6 значительно меньше, чем в соединении с x=0.8. Изменение знака λ_{\parallel} при $T = 104 \,\mathrm{K}$ в $\mathrm{Sm}_{0.2}(\mathrm{Y}_{0.6}\mathrm{Tb}_{0.4})_{0.8}\mathrm{Fe}_2$, по-видимому, также связано с фазовым переходом (по аналогии с составом x = 0.8). Максимум поперечной магнитострикции в области температур 150-200 К обусловлен уменьшением спонтанной намагниченности данного ферримагнетика в результате магнитной компенсации [12].

Температурные зависимости продольной поперечной магнитострикции соединения $Sm_{0.2}(Y_{0.4}Tb_{0.6})_{0.8}Fe_2$ (x = 0.4)представлены рис. 3, a. Продольная магнитострикция $Sm_{0.2}(Y_{0.4}Tb_{0.6})_{0.8}Fe_2$ положительна. время поперечная магнитострикция для этого состава во всем интервале температур отрицательна. области температур 85-100 К наблюдаются аномалии в виде максимумов (и минимумов) на кривых $\lambda_{\parallel}(T)$ и $\lambda_{\perp}(T)$ при всех значениях приложенного магнитного поля. Максимальное значение $\lambda_{\parallel} = 0.35 \cdot 10^{-3}$ при $T = 130\,\mathrm{K}$ в поле $12\,\mathrm{k}\Theta$ и с дальнейшем ростом температуры λ_{\parallel} уменьшается, достигая при комнатной температуры значения $0.25 \cdot 10^{-3}$. При температуре кипения жидкого азота $\lambda_{\perp} = -0.25 \cdot 10^{-3}$ и с ростом температуры уменьшается примерно в 2 раза.

На рис. $3, \delta$ показаны температурные зависимости продольной и поперечной магнитострикции соединения $\mathrm{Sm}_{0.2}(\mathrm{Y}_{0.2}\mathrm{Tb}_{0.8})_{0.8}\mathrm{Fe}_2$ (x=0.2). Так же, как и в соединении с x=0.4, продольная магнитострикция $\mathrm{Sm}_{0.2}(\mathrm{Y}_{0.2}\mathrm{Tb}_{0.8})_{0.8}\mathrm{Fe}_2$ положительная, а поперечная — отрицательная. Значение $\lambda_{\parallel}=0.66\cdot 10^{-3}$ при температуре $82\,\mathrm{K}$ в поле $12\,\mathrm{K}$ Э и с ростом температуры λ_{\parallel} уменьшается, достигая при комнатной температуре значения $0.46\cdot 10^{-3}$. При температуре кипения жидкого азота $\lambda_{\perp}=-0.36\cdot 10^{-3}$. С ростом температуры λ_{\perp} уменьшается по абсолютной величине, достигая при комнатной температуре значения $-0.2\cdot 10^{-3}$.

Для сплава $\mathrm{Sm}_{0.2}\mathrm{Tb}_{0.8}\mathrm{Fe}_2$ (x=0) температурные зависимости $\lambda_{\parallel}(T)$ и $\lambda_{\perp}(T)$ исследованы в работе [20]. В данной работе представлены изотермы продольной и поперечной магнитострикции (рис. 4). Для состава $\mathrm{Sm}_{0.2}\mathrm{Tb}_{0.8}\mathrm{Fe}_2$ продольная магнитострикция положительная в области исследованных температур, а поперечная, наоборот, отрицательная. При этом в поле $12\,\mathrm{k}$ 9 продольная магнитострикция достигает гигантского значения $\lambda_{\parallel}\approx 1.2\cdot 10^{-3}$ при $T=80\,\mathrm{K}$ (не выходя на полное насыщение). Поперечная магнитострикция λ_{\perp} , как видно из рисунка, при тех же условиях в 1.5 раза меньше, чем λ_{\parallel} .

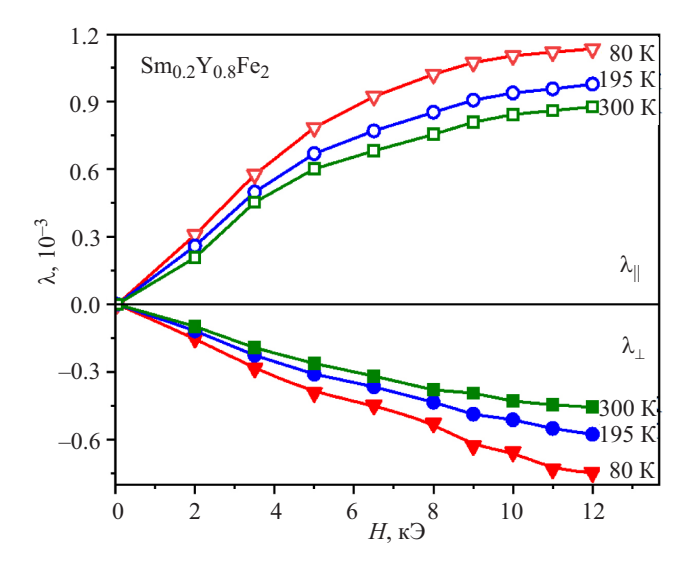


Рис. 4. Полевые зависимости продольной и поперечной магнитострикции $Sm_{0.2}Tb_{0.8}Fe_2$

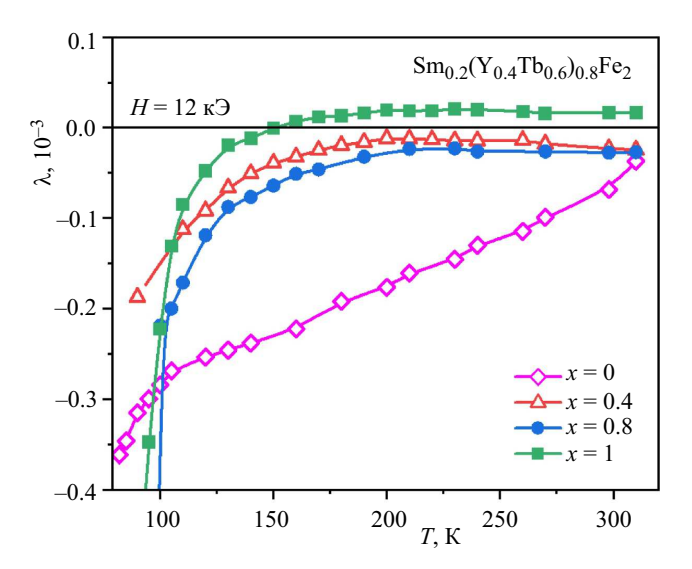


Рис. 5. Зависимость объемной магнитострикции сплавов системы $Sm_{0.2}(Y_xTb_{1-x})_{0.8}Fe_2$ от температуры в поле $H=12~\mathrm{K}$ Э

На основе результатов исследования продольной и поперечной магнитострикции по формуле (1) определена объемная магнитострикция ω , индуцированная внешним магнитным полем. На рис. 5 показаны температурные зависимости $\omega(T)$ для сплавов системы $\mathrm{Sm}_{0.2}(\mathrm{Y}_x\mathrm{Tb}_{1-x})_{0.8}\mathrm{Fe}_2$ (где x=0,0.4,0.8,1) в магнитном поле $H=12\,\mathrm{k}$ Э. У всех составов интервале температур $80\text{--}320\,\mathrm{K}$ объемная магнитострикция отрицательна при низких температурах, а в области комнатной температуры близка к нулю.

В системе исследованных многокомпонентных соединений $\mathrm{Sm}_{0.2}(\mathrm{Y}_x\mathrm{Tb}_{1-x})_{0.8}\mathrm{Fe}_2$ объемная магнитострикция демонстрирует аномальное поведение при температурах ниже $110\,\mathrm{K}$. Например, в соединении $\mathrm{Sm}_{0.2}\mathrm{Y}_{0.8}\mathrm{Fe}_2$ (x=1) наблюдается резкий рост величины отрицательной объемной магнитострикции при охлаждении. Аномальное поведение зависимости $\omega(T)$ можно связать с трансформацией кристаллической решетки в результате спонтанного спинпереориентационного перехода. Кроме того, в этом соединении ω меняет знак с отрицательного на по-

ложительный при температуре $T = 150 \, \text{K}$. При температуре 80 К значение объемной магнитострикции $\omega = -0.57 \cdot 10^{-3}$. В интервале температур 150-320 К магнитострикция положительна и практически не изменяется ($\omega = 0.02 \cdot 10^{-3}$). Температурные зависимости объемной магнитострикции соединений $Sm_{0.2}Y_{0.8}Fe_2$ и $SmFe_2$ отличаются достаточно сильно. Во-первых, частичное замещение атомов Sm в редкоземельной подрешетке ионами немагнитного иттрия вызывает уменьшение магнитострикции при комнатной температуре на 2 порядка. Во-вторых, объемная магнитострикция SmFe₂ в интервале температур 80-320 К положительна и аномалия в области СПП в SmFe₂ проявляется в виде широкого максимума при $T_{\rm SR1} \, = \, 188 \, {\rm K.} \, \, {\rm B} \, \,$ отличие от SmFe $_2$, в соединении $Sm_{0.2}Y_{0.8}Fe_2$ $\omega(T)$ становится отрицательной в области температур 80–150 К. Столь сильное изменение поведения объемной магнитострикции связано главным образом с изменением обменных взаимодействий при разбавлении РЗ подрешетки ионами иттрия.

Объемная магнитострикция $Sm_{0.2}Tb_{0.8}Fe_2$ (x=0) отрицательная во всем исследованном интервале температур. В интервале 300 K температур ОТ 110 ДО наблюдается практически линейное уменьшение величины $\omega(T)$. При изменении температуры от 80 до объемной магнитострикции 12 кЭ уменьшается на порядок. Хотя объемная TbFe_2 магнитострикция соединений [12,и $Sm_{0.2}Tb_{0.8}Fe_2$ близки по величине в области температур 80-300 К, однако их температурные зависимости отличаются существенным образом. В соединении $Sm_{0.2}Tb_{0.8}Fe_2$ вблизи температуры $\sim \! 100 \, \mathrm{K}$ наблюдается аномалия на кривых $\omega(T)$ в виде изменения наклона. Наличие аномалий зависимости температурной объемной магнитострикции соединения $Sm_{0.2}Tb_{0.8}Fe_2$ обусловлено различным температурным поведением намагниченности отдельных подрешеток Объемная Tb и (подрешетки Fe, Sm) [20].магнитострикция многокомпонентных сплавов $Sm_{0.2}(Y_xTb_{1-x})_{0.8}Fe_2$ (x=0.4,0.8) в магнитном поле $H = 12 \, \text{k} \Im$ отрицательна во всем исследованном интервале температур. Важно, что сразу для трех составов $Sm_{0.2}(Y_xTb_{1-x})_{0.8}Fe_2$ (где x=0.4,0.8 и 1) наблюдается широкая область температур (150- $300\,\mathrm{K}$), в которой значения ω близки к 0. В соединении $Sm_{0.2}(Y_{0.8}Tb_{0.2})_{0.8}Fe_2$ при уменьшение температуры ниже 110 К наблюдается резкий рост величины объемной магнитострикции, вызванный магнитоструктурным фазовым переходом.

Как уже упоминалось выше, сплавы $Sm_{0.2}(Y_xTb_{1-x})_{0.8}Fe_2$ относятся к широкому классу магнитных материалов с конкурирующими обменными взаимодействиями (ферро-, антиферомагнитными), благодаря которым возникают различные магнитоструктурные фазовые переходы, при которых наблюдаются важные (для применения на практике) магнитные явления. Наряду с высокой магнитострикцией возможно наблюдение большого магнитокалорического эффекта, заметного магнитоспротивления и др. явлений [21–27]. Как следует из анализа

составов Sm-Y-Tb-Fe. в них может присутствовать 5 типов обменных взаимодействий, а именно: Fe-Fe, Tb-Fe, Sm-Fe, Tb-Tb и Sm-Sm. В зависимости от значения параметра замещения и температуры наиболее интенсивно проявляется тот или иной тип взаимодействия (ферро- или ферримагнитный). Взаимодействие Fe-Fe — наиболее сильное из них. Однако в сплавах с большим содержанием тербия (как, например, в соединении $Sm_{0.2}Tb_{0.8}Fe_2$), следующим по величине вкладом в обменное взаимодействие является межподрешеточное Tb-Fe. Обусловлено это тем, взаимодействие что магнитный момент атомов тербия $\mu = 9 \, \mu_{\rm B}$, в то время как магнитный момент атомов самария невелик $\mu = 0.7 \, \mu_{\rm B}$ и количество атомов Sm относительно небольшое и фиксированное всех составах. Магнитный момент на железа $\mu_{\rm Fe} = 1.45 \; \mu_{\rm B}/{\rm Fe} \; [28]$. Тогда магнитный момент подрешетки Tb может быть рассчитан в зависимости от параметра замещения по формуле: $\mu_{\text{Th}}(x) = 0.8 \cdot (1-x) \cdot 9 \ \mu_{\text{B}} = (1-x)7.2 \ \mu_{\text{B}}/\text{f.u.}$

В том случае, когда в модели ферримагнетика с тремя магнитными подрешетками (Tb, Sm, Fe) магнитные моменты ориентированы коллинеарно относительно друг друга, величина полного магнитного момента является суперпозицией трех вкладов:

$$\mu(x) = 2\mu_{\text{Fe}} - \mu_{\text{Tb}}(x) + \mu_{\text{Sm}}.$$
 (2)

Поскольку магнитный момент тербия в нашей модели линейно зависит от параметра замещения, то и полный магнитный момент демонстрирует линейную зависимость от концентрации иттрия. Формула (2) позволяет получить как положительные, так и отрицательные значения (для области параметра замещения x в интервале от 0 до 1), поэтому для оценки величины магнитного момента соединений надо использовать абсолютное значение. По мере замещения редкоземельного Tb ионами немагнитного Ү происходит уменьшение полного магнитного момента $\mu(x)$. Линейная зависимость $\mu(x)$ достигает нулевого значения при $x \sim 0.6$. Следовательно, состав $Sm_{0.2}(Y_{0.6}Tb_{0.4})_{0.8}Fe_2$ является компенсационным. Наши расчеты согласуются с экспериментальными данными по намагниченности [17]. Подобное поведение намагниченности также обнаружено в системе многокомпонентных сплавов $(\mathsf{Tb}_{0.2}\mathsf{Pr}_{0.8})_x\mathsf{Y}_{1-x}\mathsf{Fe}_2$ — внедрение немагнитного У приводит к появлению компенсационного состава при концентрации x = 0.6 [21].

Объемная магнитострикция в многоподрешеточных магнетиках изменяется аномально по сравнению с одно- и двухподрешеточными ферромагнетиками, так как она зависит от намагниченности всех подрешеток, а, как уже было показано выше, намагниченность подрешеток по-разному зависит от концентрации замещающего элемента, а также от температуры. Вследствие этого аномальное поведение магнитострикции в области спин-переориентационных переходов имеет более выраженный характер, чем изменение намагниченности [29].

В области парапроцесса, в отличие от ферромагнетиков, объемная магнитострикция ферримагнетика с двумя подрешетками имеет сложную зависимость

от магнитных моментов подрешеток [30]:

$$\omega = n_{\rm Fe} \cdot \mu_{\rm Fe}^2 + n_{\rm R\text{-}Fe} \cdot \mu_{\rm R} \cdot \mu_{\rm Fe} + n_{\rm R} \cdot \mu_{\rm R}^2, \qquad (3)$$

где $n_{\rm R},\; n_{\rm Fe}\; -\;$ это магнитоупругий обменный параметр для РЗ и 3d-подрешеток и $n_{\mathrm{R-Fe}}$ — параметр межподрешеточного магнитоупругого-обменного взаимодействия, μ_{R} и μ_{Fe} — магнитные моменты РЗ и 3d-подрешеток. В первом приближении мы можем применить данную формулу для исследуемых соединений, выражая магнитный момент РЗ подрешетки через моменты самария и тербия $\mu_{\rm R} = |\mu_{\rm Sm} - \mu_{\rm Tb}(x)|$. Разность под знаком модуля будет линейно зависеть от параметра замещения x. Первый член в (3) отвечает за вклад в магнитострикцию от железной подрешетки и не зависит от параметра замещения. Этот вклад можно оценить из результатов объемной магнитострикции соединения YFe2, магнитострикция которого крайне мала и не показывает каких-либо аномалий. Третий член в формуле (3) обычно достаточно мал в РЗ интерметаллидах с высоким содержанием 3d-металла [30]. Таким образом, основной вклад в объемную магнитострикцию дает второй член, т.е. магнитострикция парапроцесса обусловлена обменным взаимодействием между железной подрешеткой и подрешеткой РЗ металлов (тербия и самария). Знак параметра n_{R-Fe} тоже будет зависеть от параметра замещения. Только в соединении $Sm_{0.2}Y_{0.8}Fe_2$ (без тербия) обменный параметр межподрешеточного упругого взаимодействия будет положительным, а в соединениях с тербием n_{R-Fe} становиться отрицательным. Следовательно, положительная объемная магнитострикция $Sm_{0.2}Y_{0.8}Fe_2$ обусловлена обменным взаимодействием. При внедрении Tb обменная магнитострикция становится отрицательной.

Как показали наши исследования (рис. 5), в сплавах системы $Sm_{0.2}(Y_xTb_{1-x})_{0.8}Fe_2$ конкуренция всех типов обменных взаимодействий наиболее сильно сказывается в области низких температур $T < 100 \, \mathrm{K}$. Именно в этой области, к примеру, наблюдаются спин-переориентационные переходы в сплавах $Sm_{0.2}Y_{0.8}Fe_2$ и $Sm_{0.2}(Y_{0.8}Tb_{0.2})_{0.8}Fe_2$, которые ясно прослеживаются на температурных зависимостях продольной, поперечной и объемной магнитострикций. Хотя в составе $Sm_{0.2}(Y_{0.8}Tb_{0.2})_{0.8}Fe_2$ концентрация атомов самария немного превышает концентрацию атомов тербия, атомы иттрия настолько уменьшают величину интеграла обменного взаимодействия Sm-Fe, что им практически можно пренебречь во всех составах с $x \geqslant 0.8$. Введение немагнитного иттрия приводит к разбавлению редкоземельной подрешетки. Уменьшаются обменные взаимодействия R-Fe, а также обменные взаимодействия внутри редкоземельной подрешетки (Sm-Sm и Tb-Tb), что приводит в области параметра замещения x = 0.6к полной взаимной компенсации редкоземельной и железной подрешеток. Именно в этой области концентраций значительно уменьшаются все деформации, которым подвергается кристаллическая структура при переходе в магнитоупорядоченное состояние, и она стремится вернуться к первоначальному (недеформированному) состоянию.

Рассмотрим магнитострикцию кубического ферримагнетика в рамках модели одноионной магнитострикции. Полную магнитострикцию можно представить в следующем виде [29, 31]:

$$\frac{\Delta \ell}{\ell} = \frac{3}{2} \lambda_{\rm R} \left(\cos^2 \psi_{\rm R} - \frac{1}{3} \right) + \frac{3}{2} \lambda_{\rm Fe} \left(\cos^2 \psi_{\rm Fe} - \frac{1}{3} \right) + n_{\rm R-Fe} \left[\mu_{\rm R} \mu_{\rm Fe} + \mu_{\rm R} \mu_{\rm Fe} \cos \left(\theta_{\rm R} + \theta_{\rm Fe} \right) \right]. \tag{4}$$

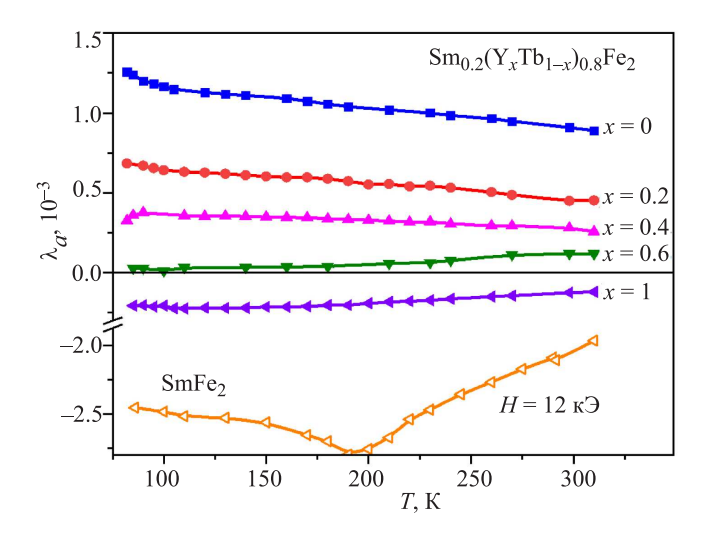
Здесь первые два члена обозначают анизотропную магнитострикцию РЗ и 3d-подрешетки, ψ_{R} и ψ_{Fe} углы между векторами намагниченности и направлением измерения магнитострикции. Последний член в формуле (4) описывает вклад объемной магнитострикции парапроцесса, θ_{R} и θ_{Fe} — углы между векторами магнитного момента подрешеток и направлением внешнего магнитного поля. Экспериментальные данные для УГе2 показывают, что анизотропная магнитострикция подрешетки железа на 2 порядка меньше, чем стрикция в составах ТbFe₂ или SmFe₂ [30]. Тогда, в первом приближении, без учета вклада магнитокристаллической анизотропии в кубическом ферримагнетике магнитострикция определяется одноионным вкладом анизотропной стрикции и обменным вкладом изотропной объемной стрикции парапроцесса. Для случая продольной магнитострикции углы $\psi_{\rm R}$ и $\theta_{\rm R}$ равны, тогда формулу (4) можно преобразовать к виду

$$\lambda_{\parallel} = \frac{3}{2} \lambda_{\rm R} (H, T) \left(\cos^2 \theta_{\rm R} - \frac{1}{3} \right) +$$

$$+ n_{\rm RFe} \left[(\mu_{\rm R})_S \mu_{\rm Fe} + \mu_{\rm R} (T, H) \mu_{\rm Fe} \cos(\theta_{\rm R} + \theta_{\rm Fe}) \right], \quad (5)$$

где $(\mu_R)_S$ характеризует прирост намагниченности РЗ подрешетки в области парапроцесса. В формуле (5) первый член описывает одноионный вклад, в то время как второй член показывает вклад в магнитострикцию от парапроцесса. В коллинеарном ферримагнетике в полях выше поля насыщения (парапроцесс) углы θ_{R} и θ_{Fe} равны 0 и π соответственно. На рис. 1, 6 и рис. 4 представлены полевые зависимости магнитострикции для соединений $Sm_{0.2}Y_{0.8}Fe_2$ и $Sm_{0.2}Tb_{0.8}Fe_2$ соответственно. Видно, что в соединении $Sm_{0.2}Y_{0.8}Fe_2$ в области температур выше $170\,\mathrm{K}$ кривые $\lambda_{\parallel}(H)$ выходят на насыщение в полях выше 8 кЭ, и в этом случае доминирует вклад в магнитострикцию от парапроцесса. При низких температурах (< 170 К) для данного соединения и для сплава Sm_{0.2}Tb_{0.8}Fe₂ насыщение кривых магнитострикции не наблюдается, следовательно, здесь основным вкладом в магнитострикцию является одноионный.

В кубических интерметаллидах RFe2 преобладает одноионная анизотропная магнитострикция, в отличие от соединений RCo2, где возникает большая по величине объемная магнитострикция [32]. Рис. 6 демонстрирует температурные зависимости анизотропной магнитострикции λ_a в магнитном поле $H=12\,\mathrm{k}$ для сплавов $\mathrm{Sm}_{0.2}(\mathrm{Y}_x\mathrm{Tb}_{1-x})_{0.8}\mathrm{Fe}_2$ с различной концентрацией тербия. Для сравнения на рис. 6 показана температурная зависимость магнитострикция соединения SmFe_2 в таком же магнитном поле [19]. Соединения SmFe_2 и $\mathrm{Sm}_{0.2}\mathrm{Y}_{0.8}\mathrm{Fe}_2$



Pис. 6. Температурные зависимости анизотропной магнитострикции соединений ${\rm Sm}_{0.2}({\rm Y}_x{\rm Tb}_{1-x})_{0.8}{\rm Fe}_2$ и ${\rm SmFe}_2$ в поле $H=12\,{\rm \kappa}\Im$

являются ферромагнетиками, и оба этих соединения демонстрируют отрицательную анизотропную одноионную магнитострикцию. При этом магнитострикция $Sm_{0.2}Y_{0.8}Fe_2$ в 10 раз меньше, чем в $SmFe_2$. Константа одноионной магнитострикции зависит от концентрации магнитоактивных ионов (Sm) и кристаллического поля, создаваемого локальным окружением. При уменьшении концентрации самария в $Sm_{0.2}Y_{0.8}Fe_2$ в 5 раз величина стрикции также должна уменьшиться на эту же величину. Однако уменьшение значительно больше. Следовательно, при замещении Sm ионами иттрия происходит, в том числе, и уменьшение величины кристаллического поля.

Соединение $Sm_{0.2}(Y_{0.6}Tb_{0.4})_{0.8}Fe_2$ демонстрирует наименьшую величину анизотропной магнитострикции. Это уменьшение связано с уменьшением намагниченности, поскольку данный состав является компенсационным. Во всех других соединениях с тербием наблюдается положительная анизотропная магнитострикция. В области параметра замещения x < 0.6 в соединениях $Sm_{0.2}(Y_xTb_{1-x})_{0.8}Fe_2$ происходит ее возрастание в зависимости от концентрации ионов тербия. Все низкотемпературные ($T < 100\,\mathrm{K}$) аномалии анизотропиной магнитострикции вызваны магнитоструктурным переходом и связаны с возрастанием констант магнитокристаллической анизотропии при уменьшении температуры.

ЗАКЛЮЧЕНИЕ

В заключение важно отметить, что в работе удалось получить практически однофазные много-компонентные сплавы $Sm_{0.2}(Y,Tb)_{0.8}Fe_2$, а также провести исследования полевых и температурных зависимостей магнитострикции (как продольной, так и поперечной) в широком интервале температур в невысоких магнитных полях до $12\,\mathrm{k}$ Э. Это позволило произвести расчеты объемной и анизотропной магнитострикции для исследуемых составов и выявить соединения с практически нулевой объемной магнитострикцией в области температур $150-300\,\mathrm{K}$. Кроме того, установлено, что ряд составов демонстрируют магнитоструктурный фазовый переход

в области температур 80-100 К. Найдено, что в ферромагнитном соединении Sm_{0.2}Y_{0.8}Fe₂ наблюдается положительная объемная магнитострикция, обусловленная обменным вкладом. При легировании ионами тербия объемная магнитострикция становится отрицательной благодаря отрицательному обменному взаимодействию между ионами тербия и подрешеткой железа. Таким образом, установлено, что знак объемной магнитострикции коррелирует со знаком межподрешеточного обменного взаимодействия в соединениях $Sm_{0.2}(Y, Tb)_{0.8}Fe_2$. Показано, что в исследованных составах основным вкладом в магнитострикцию является одноионный анизотропный вклад РЗ подрешетки, что коррелирует с исследованиями магнитострикции бинарных редкоземельных сплавов фазы Лавесса с железом.

Авторы выражают благодарность профессору С. А. Никитину за помощь в получении экспериментальных данных. Исследование выполнено за счет гранта Российского фонда фундаментальных исследований № 19-32-50025.

СПИСОК ЛИТЕРАТУРЫ

- Ren W. J., Zhang Z. D. // Chin. Phys. B. 2013. 22, N 7. 077507.
- Wang N. J., Liu Y., Zhang H. W. et al. // China Foundry. 2016. 13. N 2. P. 75.
- Tereshina I., Cwik J., Tereshina E. et al. // IEEE Trans. Mag. 2014. 50. N 11. 2504604.
- Grössinger R., Turtelli R.S. Mehmood N. // IOP Conf. Series: Materials Science and Engineer. 2014. 60. 012002.
- 5. *Тейлор К*. Интерметаллические соединения редкоземельных металлов. М.: Мир, 1974.
- 6. *Белов К. П.* Магнитострикционные явления и их технические приложения. М.: Наука, 1987.
- 7. *Илюшин А. С.* Основы структурной физики редкоземельных интерметаллических соединений. М.: МГУ, 2005.
- 8. Сташкова Л. А., Гавико В. С., Мушников Н. М., Терентьев П. Б. // Физика металлов и металловедение. 2013. 114, № 12. С. 985. (Stashkova L. A., Gaviko V. S., Mushnikov N. V., Terent'ev P. B. // Phys. Metals and Metal. 2013. 114, № 12. P. 985.)
- 9. Терёшина И.С., Каминская Т.П., Чжан В.Б. и др. // ФТТ. 2019. **61**, № 7. С. 1229. (*Tereshina I.S., Kaminskaya T.P., Chzhan V.B.* et al. // Physics of the Solid State. 2019. **61**, № 7. Р. 1169.)
- Chzhan V.B., Tereshina I.S., Karpenkov A. Yu., Tereshina-Chitrova E.A. // Acta Materialia. 2018. 154 P. 303.
- 11. Илюшин С.А., Солодов Е.В., Умхаева З.С. // Перспективные материалы. 2013. **11**. С. 42. (Ilushin A.S.,

- Solodov Ye. V., Umkhaeva Z. S. // Perspektivnye Materialy. 2013. 11. P. 42.)
- Buck S., Fähnle M. // J. Magn. Magn. Matter. 1999.
 P. L1.
- Tang Y. M., Chen L. Y., Zhang L. et al. // J. Appl. Phys. 2014. 115, N 17. 173902.
- Samata H., Fujiwara N., Nagata Y. et al. // J. Magn. Magn. Mater. 1999. 195, N 2. P. 376.
- 15. *Liu X. N., Lin K, Gao Q. L.* et al. // Inorganic chemistry. 2018. **57**, N 2. P. 689.
- Gaviko V. S., Korolyov A. V., Mushnikov N. V. // J. Magn. Magn. Matter. 1995. 157. P. 659.
- 17. Umkhaeva Z.S., Ilyushin A.S., Aleroeva T.A. et al // Advan. in Engin. Research. 2018. 177. P. 198.
- 18. Bodriakov V. Yu., Ivanova T. I., Nikitin S. A., Tereshina I. S. // J. Alloys and Compounds. 1997. **259**, N 1–2. P. 265.
- 19. Политова Г.А., Карпенков А.Ю., Каминская Т.П. и др. // НТВ СПбГПУ. 2019. **12**, № 1. С. 28. (Politova G.A., Karpenkov A. Yu., Kaminskaya T.P., et al. // St. Petersburg Polytechnical State University Journal. Physics and Mathematics. 2019. **12**, № 1. Р. 28.)
- 20. Алероева Т. А., Терешина И. С., Умхаева З. С. и др. // ФТТ. 2019. **61**, № 12. С. 2471.
- 21. Zhang G.B., Liu Y.D., Kan C.X. et al // Materials Research Bulletin. 2019. 112. P. 174.
- Ren W. J., Yang B.Li, Zhao X. G. et al. // Physica B. 2009. 404, N 20. P. 3410.
- 23. Каманцев А. П., Коледов В. В., Маширов А. В. и др. // Известия РАН. Сер. физ. 2014. **78**, № 9. С. 1180. (Kamantsev A. P., Koledov V. V., Mashirov A. V. et al. // Bulletin of the RAS. 2014. **78**. P. 936.)
- Tereshina I., Politova G., Tereshina E. et al. // J. Phys.: Conf. Series. 2010. 200. 092012.
- Wang Y., Ma T. Y., Wu C. et al. // AIP Advances. 2017.
 7. 075311.
- 26. *Tereshina I.*, *Politova G.*, *Tereshina E.* et al. // J. Phys.: Conf. Series. 2011. **266**. 012077.
- Tereshina I., Politova G., Tereshina E. et al. // J. Phys.: Conf. Series. 2011. 303. 012024.
- Buschow K. H. J., van Diepen A. M. // Solid State Com. 1976. 19. P. 79.
- 29. Белов К.П., Звездин А.К., Кадомцева А.М., Левитин Р.З. Ориентационные переходы в редкоземельных магнетиках. М. Наука. 1979.
- Andreev A. V. Handbook of Magnetic Materials. 1995. 8.
 P. 59.
- 31. Белов К.П., Катаев Г.И., Левитин Р.З. и др. // УФН. 1983. **140**. С. 271. (Belov K.P., Kataev G.I., Levitin R.Z. et al // Sov. phys. uspekhi. 1983. **26**. P. 518.)
- 32. *Никитин С. А.* // Вестн. Моск. ун-та. Физ. Астрон. 2011. № 6. С. 27. (*Nikitin S. A.* // Moscow Univ. Phys. Bull. 2011. **66**, N 6. P. 519.)

Specific Features in the Field and Temperature Dependences of the Magnetostriction of Multicomponent $Sm_{0.2}(Y,Tb)_{0.8}Fe_2$ Alloys

T. A. Aleroeva^{1,2}, A. S. Ilyushin^{1,3}, Z. S. Umkhaeva^{2,3}, N. Yu. Pankratov^{1,a}, I. S. Tereshina¹

E-mail: apankratov@phys.msu.ru.

This paper presents results on the synthesis of multicomponent $Sm_{0.2}(Y, Tb)_{0.8}Fe_2$ alloys and the study of their magnetostriction properties. In this system, it is possible to control competing exchange interactions by varying

¹Faculty of Physics, Lomonosov Moscow State University, Moscow 119991, Russia.

²Chechen State University. Grozny 364907, Russia.

³Ibragimov Complex institut, RAS. Grozny 364051, Russia.

the concentrations of components, the temperature, and the external magnetic field and to observe a variety of unique phenomena, such as magnetization and magnetostriction compensation. Using X-ray diffraction analysis, it has been established that these alloys have a cubic crystal structure of the C_{15} Laves phase. Longitudinal and transversal magnetostrictions were studied within a temperature range from 80 to 300 K in magnetic fields of up to 12 kOe. The bulk and anisotropic magnetostrictions were calculated from experimental values. The sign inversion of bulk magnetostriction in $Sm_{0.2}Y_{0.8}Fe_2$ was revealed at T=150 K. It has been shown that the bulk magnetostriction of some studied alloys is almost invariable and close to zero within a broad temperature range of 150-300 K. The results are discussed within the model of a three-sublattice magnet with competing exchange interactions.

Keywords: Laves phases, magnetostriction, exchange interactions, spin-reorientation transition.

PACS: 75.80.+q.

Received 19 January 2020.

English version: Moscow University Physics Bulletin. 2020. 75, No. 3. Pp. 257–265.

Свеления об авторах

- 1. Алероева Тамила Ахмадовна аспирант, e-mail: taleroy@mail.ru.
- 2. Илюшин Александр Сергеевич доктор физ.-мат. наук, профессор, зав. кафедрой; тел.: (495) 939-23-87, e-mail: sols146i@phys.msu.ru.
- 3. Умхаева Зарган Сайпудиновна доктор физ.-мат. наук, доцент, профессор; e-mail: zargan.umhaeva@yandex.ru.
- 4. Панкратов Николай Юрьевич канд. физ.-мат. наук, ст. науч. сотрудник; тел.: (495) 939-49-02, e-mail: pankratov@phys.msu.ru.
- 5. Терёшина Ирина Семеновна доктор физ.-мат. наук, вед. науч. сотрудник; e-mail: irina_tereshina@mail.ru.